

2. Cinematica roboților industriali

2.1. Modelul matematic al manipulării obiectelor de lucru de către robot

Fie un obiect de lucru (piesă sau sculă) căruia i se atașează un sistem de referință $Oxyz$. Acest obiect de lucru este prehensat¹ de către robot, prin dispozitivul său de prehensiune sau este fixat de flanșa robotului și ocupă diferite situații în spațiul de lucru. În figura 2.1 se prezintă un obiect cilindric și sistemul de referință atașat acestuia, în diverse poziții² în spațiu și cu orientări³ diferite.

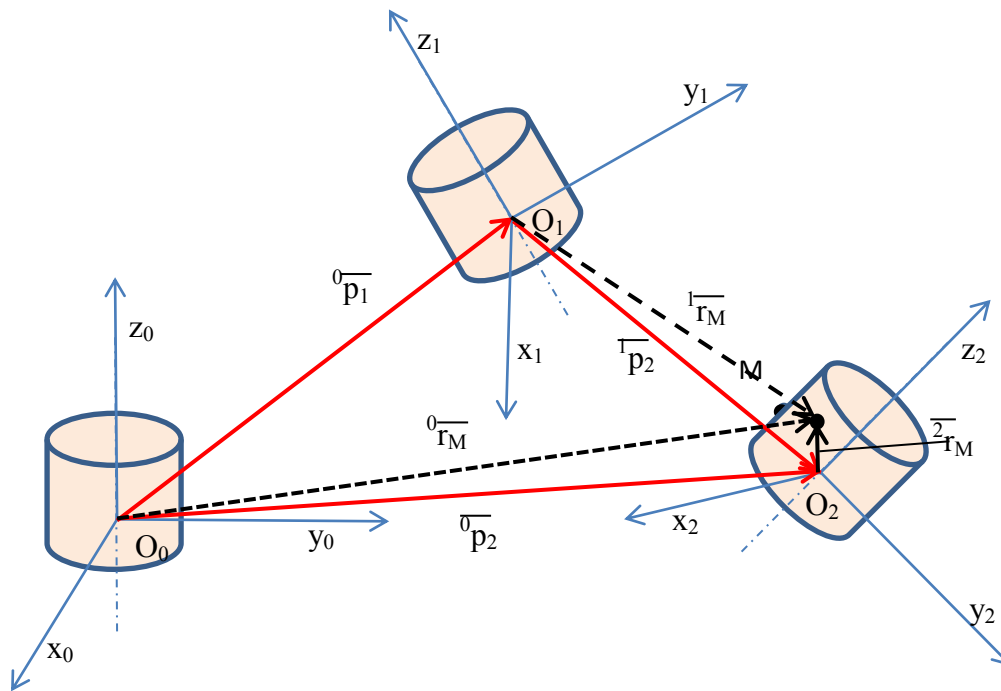


Figura 2.1. Modelul grafic al manipulării obiectului de lucru de către robot

Fie vectorul de poziție al originii O_1 în raport cu sistemul $O_0x_0y_0z_0$, notat cu ${}^0\overline{p}_1$, similar vectorul de poziție al originii O_2 față de sistemul $O_1x_1y_1z_1$ este notat cu ${}^1\overline{p}_2$, vectorul de poziție al punctului M față de sistemul $O_2x_2y_2z_2$ este notat cu ${}^2\overline{r}_M$, etc.

Conform figurii 2.1, este evidentă relația:

$${}^0\overline{r}_M = {}^0\overline{p}_2 + {}^2\overline{r}_M \quad (2.1)$$

$${}^2\overline{r}_M = {}^2x_M \cdot \overline{i}_2 + {}^2y_M \cdot \overline{j}_2 + {}^2z_M \cdot \overline{k}_2 \quad (2.2)$$

¹ **PREHENSIÚNE** s. f. acțiunea mâinii de a prinde, de a apuca cu ajutorul degetelor, ghearelor, al unei pense etc. (< fr. *préhension*).

² Pozițiile punctelor O_0, O_1, O_2 .

³ Orientarea sistemului de referință "1" față de "2" este determinată de unghiurile dintre axele sistemului $O_1x_1y_1z_1$ cu fiecare dintre axele sistemului $O_2x_2y_2z_2$.

unde ${}^2x_M, {}^2y_M, {}^2z_M$ sunt coordonatele carteziene ale punctului M față de sistemul de coordonate $O_2x_2y_2z_2$, iar i_2, j_2, k_2 sunt versorii axelor sistemului de referință 2.

Similar, $\overline{{}^0p_2} = {}^0x_{O_2} \cdot \overline{i_0} + {}^0y_{O_2} \cdot \overline{j_0} + {}^0z_{O_2} \cdot \overline{k_0}$. (2.3)

Sistemele de referință implicate în relațiile 2.1, 2.2, 2.3 sunt prezentate în figura 2.2.

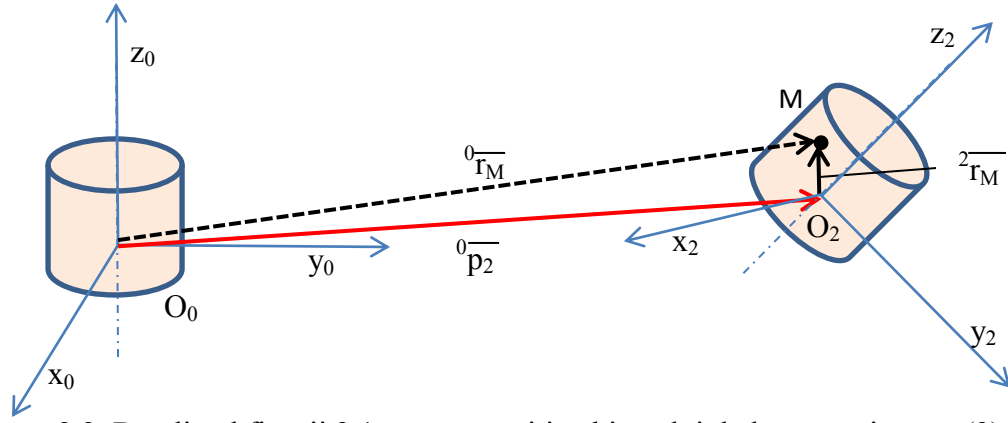


Figura 2.2. Detaliu al figurii 2.1, pentru poziția obiectului de lucru în situația (2)

<p>(a) Proiecțiile lui 2r_M pe direcțiile axelor O_2x_2, O_2y_2, O_2z_2 cu roșu este 2z_M</p>	<p>(b) Translația obiectului de lucru din situația 2, astfel încât O_0 și O_2 să coincidă</p>	<p>(c) Proiecțiile lui 2z_M pe direcțiile axelor O_0x_0, O_0y_0, O_0z_0; lungimea proiecției pe O_0z_0 este ${}^2z_M \cos(\alpha_{z_0, z_2})$; similar, lungimea proiecției pe O_0x_0 este ${}^2z_M \cos(\alpha_{x_0, z_2})$, lungimea proiecției pe O_0y_0 este ${}^2z_M \cos(\alpha_{y_0, z_2})$, etc.</p>

Figura 2.3. Detalii ale figurii 2.1 (continuarea figurii 2.2)

În relația 2.1 se înlocuiesc termenii sumei și se obține:

$$\overline{{}^0r_M} = \overline{{}^0p_2} + \overline{{}^2r_M} = {}^0x_{O_2} \cdot \overline{i_0} + {}^0y_{O_2} \cdot \overline{j_0} + {}^0z_{O_2} \cdot \overline{k_0} + {}^2x_M \cdot \overline{i_2} + {}^2y_M \cdot \overline{j_2} + {}^2z_M \cdot \overline{k_2}$$
(2.4)

Se observă că termenii ${}^2x_M, {}^2y_M, {}^2z_M$ sunt proiecțiile vectorului 2r_M (coordoanatele lui M față de sistemul de referință 2). În figura 2.3 c se observă cum 2z_M se proiectează pe axele sistemului $O_0x_0y_0z_0$ și care sunt lungimile acestor proiecții.

Dacă înlocuim în relația 2.4, avem:

$$\begin{aligned}
\overline{{}^0r_M} &= {}^2x_M \cdot \overline{i_2} + {}^2y_M \cdot \overline{j_2} + {}^2z_M \cdot \overline{k_2} + {}^0x_{O_2} \cdot \overline{i_0} + {}^0y_{O_2} \cdot \overline{j_0} + {}^0z_{O_2} \cdot \overline{k_0} = \\
&= {}^2x_M \cdot \cos(i_0, i_2) + {}^2x_M \cdot \cos(j_0, i_2) + {}^2x_M \cdot \cos(k_0, i_2) + \\
&+ {}^2y_M \cdot \cos(i_0, j_2) + {}^2y_M \cdot \cos(j_0, j_2) + {}^2y_M \cdot \cos(k_0, j_2) + \\
&+ {}^2z_M \cdot \cos(i_0, k_2) + {}^2z_M \cdot \cos(j_0, k_2) + {}^2z_M \cdot \cos(k_0, k_2) + \\
&\quad + {}^0x_{O_2} \cdot \overline{i_0} + {}^0y_{O_2} \cdot \overline{j_0} + {}^0z_{O_2} \cdot \overline{k_0}
\end{aligned} \tag{2.5}$$

Dacă se rearanjează relația 2.5, separând coordonatele 0r_M , avem:

$$\begin{aligned}
{}^0x_M &= {}^2x_M \cdot \cos(i_0, i_2) + {}^2y_M \cdot \cos(i_0, j_2) + {}^2z_M \cdot \cos(i_0, k_2) + {}^0x_{O_2} \cdot \overline{i_0}; \\
{}^0y_M &= {}^2x_M \cdot \cos(j_0, i_2) + {}^2y_M \cdot \cos(j_0, j_2) + {}^2z_M \cdot \cos(j_0, k_2) + {}^0y_{O_2} \cdot \overline{j_0}; \\
{}^0z_M &= {}^2x_M \cdot \cos(k_0, i_2) + {}^2y_M \cdot \cos(k_0, j_2) + {}^2z_M \cdot \cos(k_0, k_2) + {}^0z_{O_2} \cdot \overline{k_0};
\end{aligned} \tag{2.6}$$

O altă formă (mai compactă a relațiilor 2.6), în care $\cos(i_0, i_2) = \cos(x_0, x_2)$, este:

$$\begin{bmatrix} {}^0x_M \\ {}^0y_M \\ {}^0z_M \\ 1 \end{bmatrix} = \begin{bmatrix} \cos(x_0, x_2) & \cos(x_0, y_2) & \cos(x_0, z_2) \\ \cos(y_0, x_2) & \cos(y_0, y_2) & \cos(y_0, z_2) \\ \cos(z_0, x_2) & \cos(z_0, y_2) & \cos(z_0, z_2) \\ 0 & 0 & 0 \end{bmatrix} \begin{bmatrix} {}^0x_{O_2} \\ {}^0y_{O_2} \\ {}^0z_{O_2} \\ 1 \end{bmatrix} \begin{bmatrix} {}^2x_M \\ {}^2y_M \\ {}^2z_M \\ 1 \end{bmatrix} \tag{2.7}$$

Sau

$$\underline{{}^0r_M} = \underline{{}^0T_2} \cdot \underline{{}^2r_M}, \tag{2.8}$$

unde $\underline{{}^0T_2}$ este matricea de transformare a coordonatelor unui punct din sistemul de coordonate 2 în sistemul 0 sau matricea de trecere din sistemul 2 în 0.

$$\begin{bmatrix} \cos(x_0, x_2) & \cos(x_0, y_2) & \cos(x_0, z_2) \\ \cos(y_0, x_2) & \cos(y_0, y_2) & \cos(y_0, z_2) \\ \cos(z_0, x_2) & \cos(z_0, y_2) & \cos(z_0, z_2) \end{bmatrix} \text{este submatricea de orientare;}$$

$$\begin{bmatrix} {}^0x_{O_2} \\ {}^0y_{O_2} \\ {}^0z_{O_2} \end{bmatrix} \text{este submatricea de poziționare}$$

Dacă cele două sisteme sunt ambele situate în același plan sau în plane paralele, matricea 0T_2 devine:

$$\underline{{}^0T_2} = \begin{bmatrix} \cos(x_0, x_2) & \cos(x_0, y_2) & {}^0x_{O_2} \\ \cos(y_0, x_2) & \cos(y_0, y_2) & {}^0y_{O_2} \\ 0 & 0 & 1 \end{bmatrix}$$

Luând în considerare notațiile din figura 2.1, similar cu ecuația 2.8, putem deduce și relațiile:

$$\begin{aligned} \overline{{}^1r_M} &= \overline{{}^1p_2} + \overline{{}^2r_M}, \\ \overline{{}^0p_2} &= \overline{{}^0p_1} + \overline{{}^1p_2} \end{aligned} \quad (2.9)$$

Dacă înlocuim în relația 2.1 relațiile 2.9, obținem:

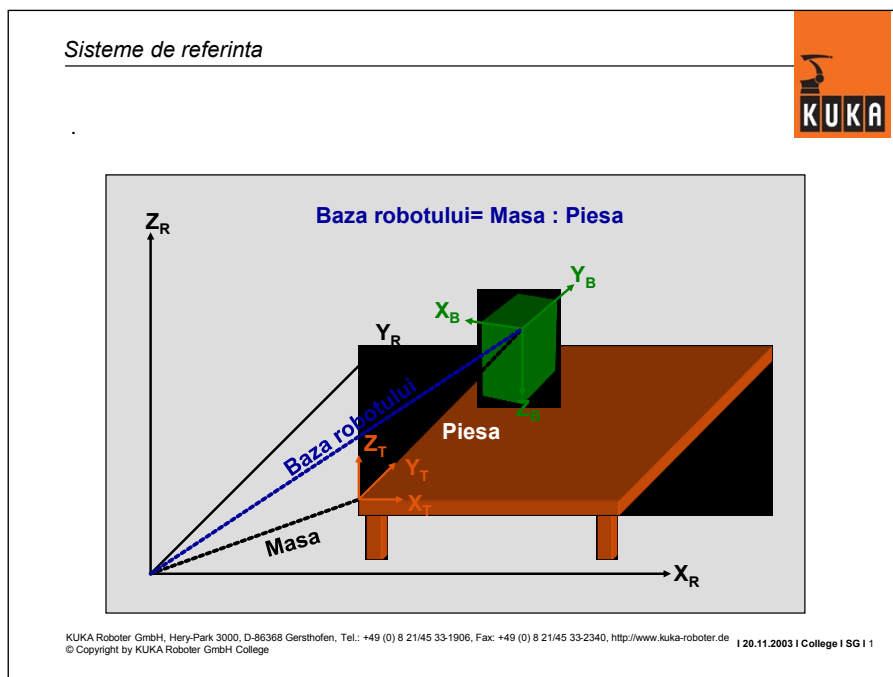
$$\overline{{}^0r_M} = \overline{{}^0p_2} + \overline{{}^2r_M} = \overline{{}^0p_1} + \overline{{}^1p_2} + \overline{{}^2r_M} = \overline{{}^0p_1} + \overline{{}^1r_M} \quad (2.10)$$

Se înlocuiesc relațiile 2.9 și 2.10 cu notațiile din 2.8 și avem:

$$\overline{{}^0r_M} = \underline{{}^0T_2} \cdot \overline{{}^2r_M} = \underline{{}^0T_1} \cdot \underline{{}^1T_2} \cdot \overline{{}^2r_M}; \quad \underline{{}^0T_2} = \underline{{}^0T_1} \cdot \underline{{}^1T_2} \quad (2.11)$$

2.2. Modelul matematic al unei aplicații robotizate

Fie o aplicație realizată de către un robot industrial, în care acesta manipulează o piesă situată pe o masă. Robotului i se atașează un sistem de referință denumit în figura 2.4 „baza robotului” (X_R, Y_R, Z_R), mesei din periferia robotului i se atașează sistemul denumit „masa”



(X_M, Y_M, Z_M), iar piesei de manipulat „piesa” (X_P, Y_P, Z_P). Se cunosc coordonatele punctelor de pe piesă (de exemplu din fișiere CAD).

Figura 2.4. Aplicație industrială robotizată și sisteme de referință atașate periferiei robotului

Este cunoscută situarea piesei pe

masă, adică matricea de transformare ${}^M T_P$ și situarea mesei față de baza robotului, adică ${}^R T_M$.

Dacă aplicăm concluziile din relația 2.11, obținem:

$$\underline{{}^R T_P} = \underline{{}^R T_M} \cdot \underline{{}^M T_P} \quad (2.12)$$

Considerând un robot industrial cu 6 grade de mobilitate, care are un efector final montat pe flanșa ultimului element (poate fi un dispozitiv de prehensiune sau o sculă), sistemele de referință atașate fiecărui element al robotului, notate cu 1,2,..6 și punctul caracteristic al robotului pe efectorul final, notat cu EF, avem:

$$\underline{{}^R T_{EF}} = \underline{{}^R T_1} \cdot \underline{{}^1 T_2} \cdot \underline{{}^2 T_3} \cdot \underline{{}^3 T_4} \cdot \underline{{}^4 T_5} \cdot \underline{{}^5 T_6} \cdot \underline{{}^6 T_{EF}} \quad (2.13)$$

Pentru ca robotul să acționeze asupra piesei, pe piesă se identifică un punct esențial realizării aplicației, de exemplu centrul de masă al piesei pentru aplicația de manipulare a acesteia.

Fie punctul C centrul de masă al piesei, definit față de sistemul de referință atașat piesei, ${}^P r_C$. Față de baza robotului, centrul de masă al corpului are vectorul de poziție ${}^R r_C$, calculat cu:

$$\underline{{}^R r_C} = \underline{{}^R T_P} \cdot \underline{{}^P r_C} = \underline{{}^R T_M} \cdot \underline{{}^M T_P} \cdot \underline{{}^P r_C} \quad (2.14)$$

Pentru ca robotul să manipuleze piesa, punctul caracteristic al robotului trebuie să ajungă în centrul de masă al piesei, adică:

$$\underline{{}^R r_C} = \underline{{}^R T_{EF}} \cdot \underline{{}^{EF} r_C} = \underline{{}^R T_1} \cdot \underline{{}^1 T_2} \cdot \underline{{}^2 T_3} \cdot \underline{{}^3 T_4} \cdot \underline{{}^4 T_5} \cdot \underline{{}^5 T_6} \cdot \underline{{}^6 T_{EF}} \cdot \underline{{}^{EF} r_C} \quad (2.15)$$

Din relațiile 2.14 și 2.15, dacă robotul își aduce punctul caracteristic în centrul de masă C al piesei, avem:

$$\underline{{}^R T_M} \cdot \underline{{}^M T_P} \cdot \underline{{}^P r_C} = \underline{{}^R T_1} \cdot \underline{{}^1 T_2} \cdot \underline{{}^2 T_3} \cdot \underline{{}^3 T_4} \cdot \underline{{}^4 T_5} \cdot \underline{{}^5 T_6} \cdot \underline{{}^6 T_{EF}} \cdot \underline{{}^{EF} r_C} = \underline{{}^R T_{EF}} \cdot \underline{{}^{EF} r_C} \quad (2.16)$$

Matricea ${}^6 T_{EF}$ este cunoscută din montajul efectorului final pe flanșa robotului, vectorii ${}^P r_C$ și ${}^{EF} r_C$ sunt cunoscuți din fișierul CAD, respectiv din modalitatea de prehensare de către robot a piesei, iar ${}^R T_{EF}$ este o matrice care depinde de configurația cuplelor cinematice conducătoare ale robotului și de construcția propriu-zisă a dispozitivului de ghidare a acestuia. În procesul programării pe calculator (off-line) a robotului, această matrice (${}^R T_{EF}$) poate fi calculată și se determină deplasările din fiecare cuplă prin problema cinematică inversă.

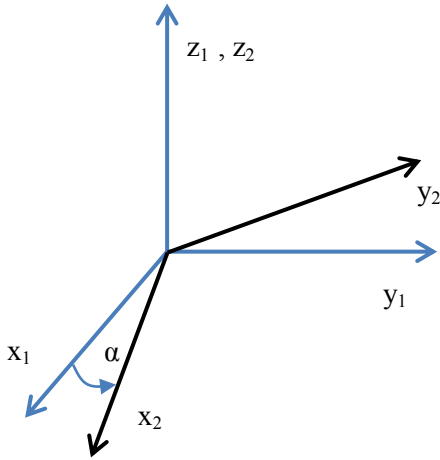
În procesul programării directe a robotului (on-line), programatorul deplasează manual robotului în poziția necesară, se memorează acea configurație a brațului robotului, apoi această poziție este utilizată în program, după necesități.

2.3 Calculul matricilor de rotație/traslație elementare

În mecanica corpurilor, ramura cinematicii, s-a studiat mișcarea unui corp în general. Poziția unui corp în spațiu este definită față de un sistem de referință fix prin coordonatele x,y,z ale polului corpului (punctul față de care corpul se rotește) și cele trei unghiuri lui Euler (unghiul de precesie ψ , unghiul de rotație proprie φ , unghiul de nutație θ). Pentru a studia situarea elementelor robotului, acest caz general se reduce la matrici de rotație/traslație elementare.

Rotația în jurul lui Oz

Fie două sisteme de referință notate cu $O_1x_1y_1z_1$ și $O_2x_2y_2z_2$, reprezentate în figura alăturată. Sistemul $O_2x_2y_2z_2$ este rotit față de $O_1x_1y_1z_1$ în jurul axei O_1z_1 cu unghiul α .

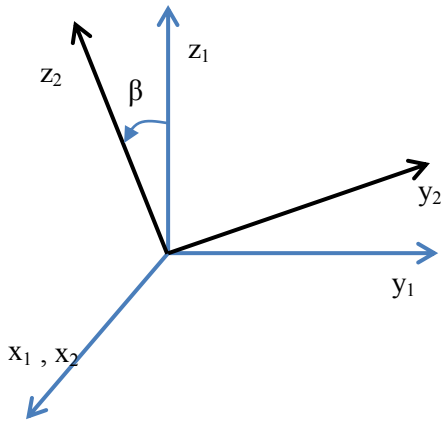


Submatricea de orientare a matricii de trecere din sistemul 2 în sistemul 1, 1R_2 este:

$$\begin{aligned} {}^1R_2 &= \begin{bmatrix} \cos(x_1, x_2) & \cos(x_1, y_2) & \cos(x_1, z_2) \\ \cos(y_1, x_2) & \cos(y_1, y_2) & \cos(y_1, z_2) \\ \cos(z_1, x_2) & \cos(z_1, y_2) & \cos(z_1, z_2) \end{bmatrix} = \\ &= \begin{bmatrix} \cos \alpha & \cos(90^\circ + \alpha) & \cos(90^\circ) \\ \cos(270^\circ + \alpha) & \cos(\alpha) & \cos(90^\circ) \\ \cos(90^\circ) & \cos(90^\circ) & \cos(0^\circ) \end{bmatrix} = \\ &= \begin{bmatrix} \cos \alpha & -\sin \alpha & 0 \\ \sin \alpha & \cos \alpha & 0 \\ 0 & 0 & 1 \end{bmatrix} \quad (2.17)^4 \end{aligned}$$

Rotația în jurul lui Ox

Fie două sisteme de referință notate cu $O_1x_1y_1z_1$ și $O_2x_2y_2z_2$, reprezentate în figura alăturată. Sistemul $O_2x_2y_2z_2$ este rotit față de $O_1x_1y_1z_1$ în jurul axei O_1x_1 cu unghiul β .



Submatricea de orientare a matricii de trecere din sistemul 2 în 1, 1R_2 este:

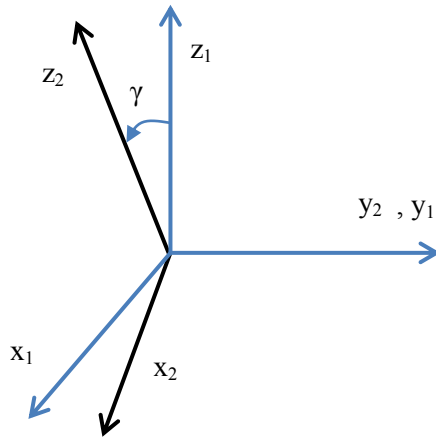
$$\begin{aligned} {}^1R_2 &= \begin{bmatrix} \cos(x_1, x_2) & \cos(x_1, y_2) & \cos(x_1, z_2) \\ \cos(y_1, x_2) & \cos(y_1, y_2) & \cos(y_1, z_2) \\ \cos(z_1, x_2) & \cos(z_1, y_2) & \cos(z_1, z_2) \end{bmatrix} = \\ &= \begin{bmatrix} \cos(0^\circ) & \cos(90^\circ) & \cos(90^\circ) \\ \cos(90^\circ) & \cos(\beta) & \cos(90^\circ + \beta) \\ \cos(90^\circ) & \cos(270^\circ + \beta) & \cos(\beta) \end{bmatrix} = \\ &= \begin{bmatrix} 1 & 0 & 0 \\ 0 & \cos \beta & -\sin \beta \\ 0 & \sin \beta & \cos \beta \end{bmatrix} \quad (2.18) \end{aligned}$$

Rotația în jurul lui Oy

Submatricea de orientare a matricii de trecere din sistemul 2 în 1, 1R_2 este:

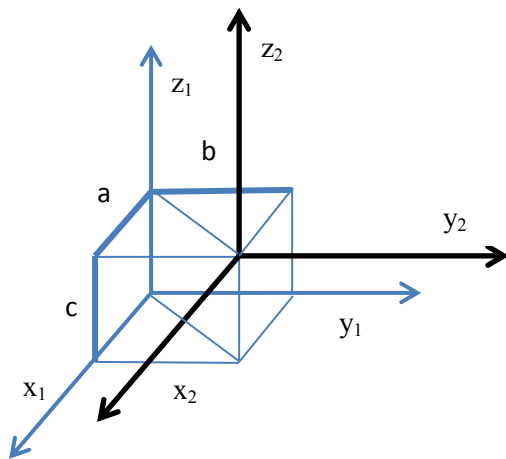
$${}^1R_2 =$$

⁴ $\cos(90^\circ + \alpha) = \cos 90^\circ \cos \alpha - \sin 90^\circ \sin \alpha = 0 \cdot \cos \alpha - 1 \cdot \sin \alpha = -\sin \alpha$;
 $\cos(270^\circ + \alpha) = \cos 270^\circ \cos \alpha - \sin 270^\circ \sin \alpha = 0 \cdot \cos \alpha - (-1) \cdot \sin \alpha = \sin \alpha$;



$$\begin{aligned}
 &= \begin{bmatrix} \cos(x_1, x_2) & \cos(x_1, y_2) & \cos(x_1, z_2) \\ \cos(y_1, x_2) & \cos(y_1, y_2) & \cos(y_1, z_2) \\ \cos(z_1, x_2) & \cos(z_1, y_2) & \cos(z_1, z_2) \end{bmatrix} = \\
 &= \begin{bmatrix} \cos(\gamma) & \cos(90^\circ) & \cos(270^\circ + \gamma) \\ \cos(90^\circ) & \cos(0^\circ) & \cos(90^\circ) \\ \cos(90^\circ + \gamma) & \cos(90^\circ) & \cos(\gamma) \end{bmatrix} = \\
 &= \begin{bmatrix} \cos\gamma & 0 & \sin\gamma \\ 0 & 1 & 0 \\ -\sin\gamma & 0 & \cos\gamma \end{bmatrix} \quad (5.19)
 \end{aligned}$$

Translații față de O_1x_1, O_1y_1, O_1z_1



Matricea de trecere din sistemul 2 în 1T_2 , sistem translatat față de O_1x_1 cu a , față de O_1y_1 cu b , față de O_1z_1 cu c , este:

$$Tr(a, b, c) = \begin{bmatrix} 1 & 0 & 0 & a \\ 0 & 1 & 0 & b \\ 0 & 0 & 1 & c \\ 0 & 0 & 0 & 1 \end{bmatrix} \quad (1.20)$$

2.4. Analiza cinematico-pozițională a mecanismului generator de traiectorie a robotului RTT⁵

Fie un lanț cinematic deschis al unui robot serial industrial (figura 4.5) format, de la bază, din cuplă de rotație R cu axă verticală (se mai numește pivotare de bază), translație pe verticală T și ultima cuplă de translație T , a cărei axă este perpendiculară în spațiu pe cupla anterioară.

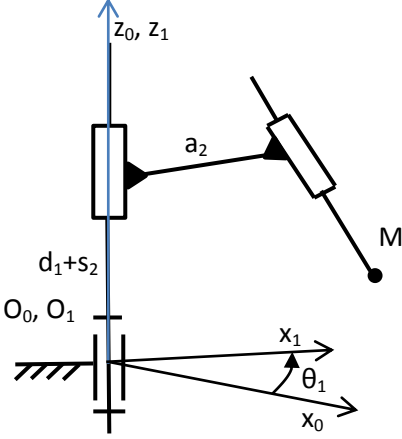
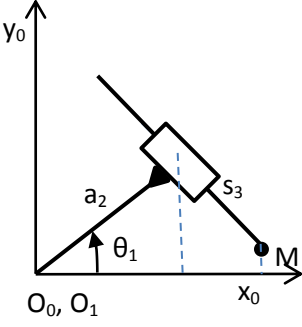
Analiza cinematică presupune determinarea:

- spațiului de lucru al robotului (ca formă și dimensiuni),
- coordonatelor carteziene ale punctului caracteristic față de un sistem de referință fix,
- determinarea vitezelor și accelerațiilor punctului caracteristic, prin derivarea relațiilor de determinare a pozițiilor în raport cu timpul,

toți acești parametrii cinematici sunt calculați în funcție de:

⁵ RTT este structura unui robot în coordonate cilindrice. Denumirea "cilindrice" provine de la forma exterioară cilindrică a spațiului de lucru.

- parametrii dimensionali ai sistemului mecanic al robotului (lungimile elementelor),
- cursele elementelor din cuplele cinematice,
- pozițiile posibile ale elementelor lanțului cinematic, care se mai denumesc coordonate generalizate din cuple.

		$x_M = a_2 \cdot \cos\theta_1 + s_3 \cdot \sin\theta_1$ $y_M = a_2 \cdot \sin\theta_1 - s_3 \cdot \cos\theta_1$ $z_M = d_1 + s_2 \quad (2.21)$ <p>unde θ_1, s_2, s_3 sunt parametrii de mișcare⁶ din cuplele cinematice conducătoare</p>
Schema cinematică 3D	Vedere de sus	Ecuatii de calcul a coordonatelor punctului caracteristic M în raport cu $O_0X_0Y_0Z_0$
Figura 2.5. Schema cinematică a robotului în coordonate cilindrice		

Parametrii Denavit Hartenberg⁷

Cei patru parametrii DH, notați cu roșu în figura 2.6, sunt: $\theta_i, d_i, a_i, \alpha_i$. Cu ajutorul acestor parametrii se poate face transformarea de coordonate din sistemul $O_{i-1}X_{i-1}Y_{i-1}Z_{i-1}$ în $O_iX_iY_iZ_i$.

În fiecare cuplă cinematică conducătoare i se atașează un sistem de referință astfel:

- Axa Z pe direcția de rotație/translație a cuplei cinematice;
- Axa X este paralelă cu normala comună între cele două axe $O_{i-1}Z_{i-1}$ și O_iZ_i astfel încât $X_i = Z_i \times Z_{i-1}$. Dacă axele Z sunt paralele, d_i este un parametru liber;
- Axa Y se determină astfel încât OXYZ să fie un sistem de coordonate drept.

⁶ Parametrii de mișcare din cuplele cinematice conducătoare ale robotului pot fi de rotație (notați cu ψ sau θ) sau de translație (notați cu s). În general, indiferent de tipul cuplei cinematice, aceștia se numesc parametrii generalizați de mișcare (notați cu q) sau coordonate generalizate.

⁷ Notația Denavit Hartenberg, a fost concepută în 1955 pentru cinematica mecanismelor spațiale.

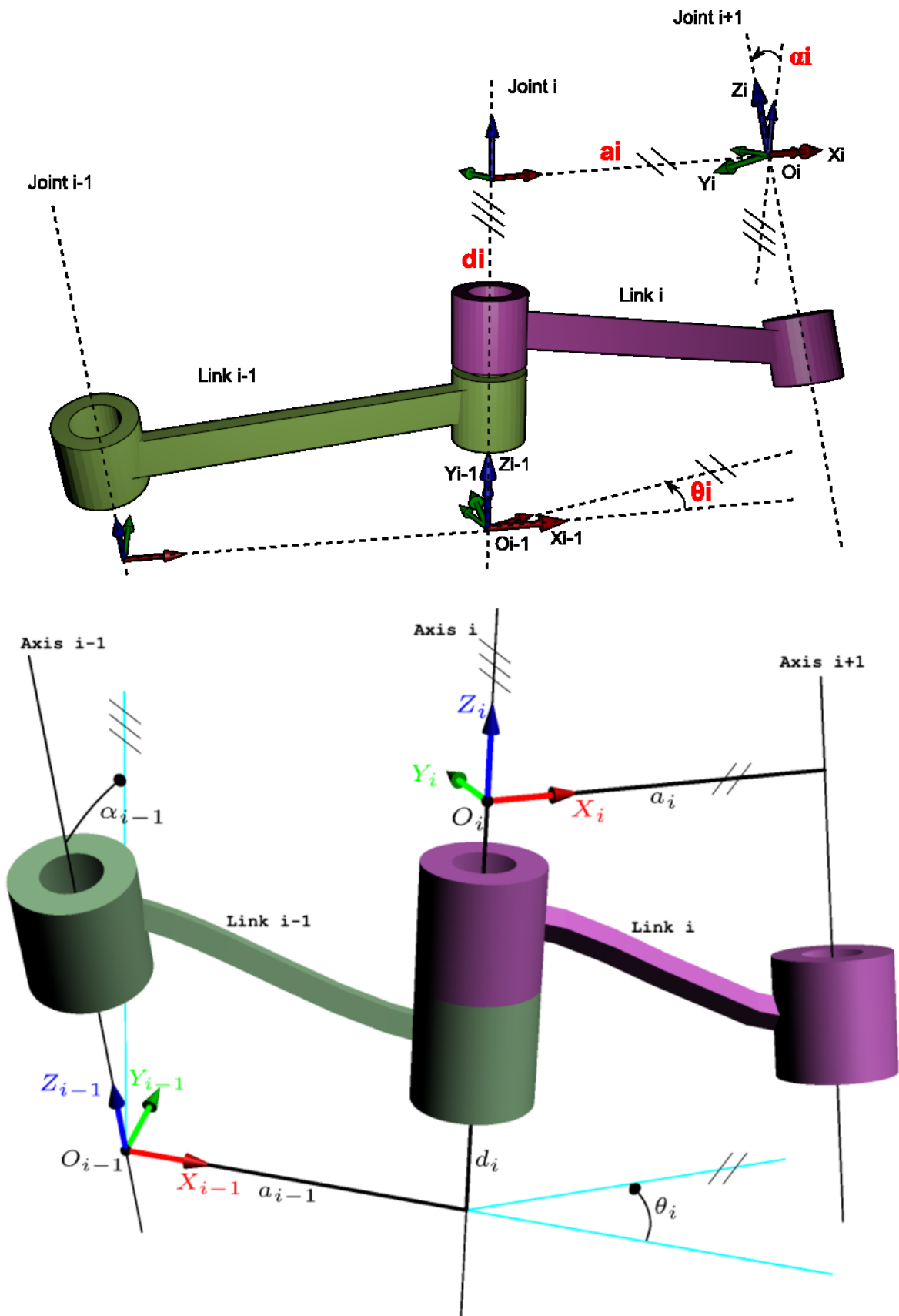


Figura 2.6. Exemple de parametrii DH pentru 3 cuple cinematice de rotație în plan și spațiu [23]

Se reia schema cinematică a robotului RTT. În fiecare cuplă cinematică conducătoare se atașează câte un sistem de referință, după convenția Denavit-Hartenberg.

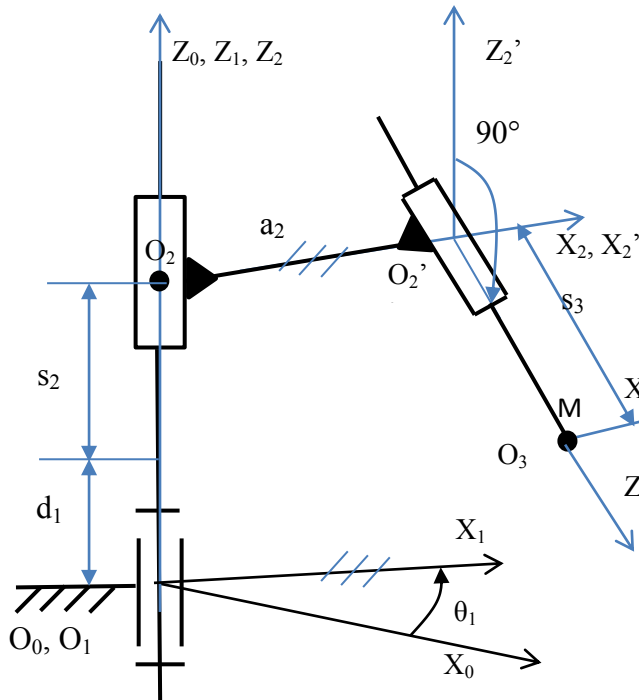


Figura 2.7. Schema cinematică a robotului RTT și sistemele de referință definite conform convenției Denavit-Hartenberg

Din sistemul de referință $O_0X_0Y_0Z_0$ în sistemul $O_1X_1Y_1Z_1$ se ajunge prin rotație cu unghiul θ_1 în jurul lui O_0Z_0 .

Din $O_1X_1Y_1Z_1$ în $O_2X_2Y_2Z_2$ se ajunge prin translație cu d_1+s_2 (s_2 este cursa momentană a actuatorului liniar, d_1 este corespunzătoare poziției lui O_2 , când $s_2=0$, limita inferioară de cursă s_2).

Din $O_2X_2Y_2Z_2$ în $O_2'X_2'Y_2'Z_2'$ se ajunge prin translație pe direcția perpendiculară comună între axele Z ale celor două cuple de translație, cu mărimea a_2 , care este și lungimea elementului 2 a schemei cinemate. Axa O_3Z_3 ajunge de-a lungul axei de translație a cuplei 3 prin rotație cu 90° în jurul axei $O_2'X_2'$.

Din $O_2'X_2'Y_2'Z_2'$ în $O_3X_3Y_3Z_3$ se ajunge prin translație cu s_3 . Se utilizează notații R și T pentru trecerea dintr-un sistem în altul, în paranteză se trece axa față de care se realizează mișcarea și valoarea acestei mișcări.

$${}^0T_3 = R(Z, \theta_1)T(Z, d_1+s_2)T(X, a_2)R(X, 90^\circ)T(Z, s_3) \quad (2.22)$$

$$\begin{aligned} {}^0T_3 &= \begin{bmatrix} c_1 & -s_1 & 0 & 0 \\ s_1 & c_1 & 0 & 0 \\ 0 & 0 & 1 & 0 \\ 0 & 0 & 0 & 1 \end{bmatrix} \cdot \begin{bmatrix} 1 & 0 & 0 & 0 \\ 0 & 1 & 0 & 0 \\ 0 & 0 & 1 & d_1+s_2 \\ 0 & 0 & 0 & 1 \end{bmatrix} \cdot \begin{bmatrix} 1 & 0 & 0 & a_2 \\ 0 & 1 & 0 & 0 \\ 0 & 0 & 1 & 0 \\ 0 & 0 & 0 & 1 \end{bmatrix} \cdot \begin{bmatrix} 1 & 0 & 0 & 0 \\ 0 & c_{90^\circ} & -s_{90^\circ} & 0 \\ 0 & s_{90^\circ} & c_{90^\circ} & 0 \\ 0 & 0 & 0 & 1 \end{bmatrix} \cdot \begin{bmatrix} 1 & 0 & 0 & 0 \\ 0 & 1 & 0 & 0 \\ 0 & 0 & 1 & s_3 \\ 0 & 0 & 0 & 1 \end{bmatrix} = \\ &= \begin{bmatrix} c_1 & -s_1 & 0 & 0 \\ s_1 & c_1 & 0 & 0 \\ 0 & 0 & 1 & 0 \\ 0 & 0 & 0 & 1 \end{bmatrix} \cdot \begin{bmatrix} 1 & 0 & 0 & a_2 \\ 0 & 1 & 0 & 0 \\ 0 & 0 & 1 & d_1+s_2 \\ 0 & 0 & 0 & 1 \end{bmatrix} \cdot \begin{bmatrix} 1 & 0 & 0 & 0 \\ 0 & 0 & -1 & 0 \\ 0 & 1 & 0 & 0 \\ 0 & 0 & 0 & 1 \end{bmatrix} \cdot \begin{bmatrix} 1 & 0 & 0 & 0 \\ 0 & 1 & 0 & 0 \\ 0 & 0 & 1 & s_3 \\ 0 & 0 & 0 & 1 \end{bmatrix} \quad (2.23) \end{aligned}$$

unde $c_1 = \cos\theta_1$; $s_1 = \sin\theta_1$, $c_{90^\circ} = \cos 90^\circ$; $s_{90^\circ} = \sin 90^\circ$; θ_1 , s_2 și s_3 sunt parametrii cinematici din cuplele RTT.

$$\begin{bmatrix} c_1 & -s_1 & 0 & 0 \\ s_1 & c_1 & 0 & 0 \\ 0 & 0 & 1 & 0 \\ 0 & 0 & 0 & 1 \end{bmatrix} \cdot \begin{bmatrix} 1 & 0 & 0 & a_2 \\ 0 & 1 & 0 & 0 \\ 0 & 0 & 1 & d_1 + s_2 \\ 0 & 0 & 0 & 1 \end{bmatrix} = \begin{bmatrix} c_1 & -s_1 & 0 & a_2 \cdot c_1 \\ s_1 & c_1 & 0 & a_2 \cdot s_1 \\ 0 & 0 & 1 & d_1 + s_2 \\ 0 & 0 & 0 & 1 \end{bmatrix}$$

$$\begin{bmatrix} 1 & 0 & 0 & 0 \\ 0 & 0 & -1 & 0 \\ 0 & 1 & 0 & 0 \\ 0 & 0 & 0 & 1 \end{bmatrix} \cdot \begin{bmatrix} 1 & 0 & 0 & 0 \\ 0 & 1 & 0 & 0 \\ 0 & 0 & 1 & s_3 \\ 0 & 0 & 0 & 1 \end{bmatrix} = \begin{bmatrix} 1 & 0 & 0 & 0 \\ 0 & 0 & -1 & -s_3 \\ 0 & 1 & 0 & 0 \\ 0 & 0 & 0 & 1 \end{bmatrix}$$

$$\underline{{}^0T_3} = \begin{bmatrix} c_1 & -s_1 & 0 & a_2 \cdot c_1 \\ s_1 & c_1 & 0 & a_2 \cdot s_1 \\ 0 & 0 & 1 & d_1 + s_2 \\ 0 & 0 & 0 & 1 \end{bmatrix} \cdot \begin{bmatrix} 1 & 0 & 0 & 0 \\ 0 & 0 & -1 & -s_3 \\ 0 & 1 & 0 & 0 \\ 0 & 0 & 0 & 1 \end{bmatrix} =$$

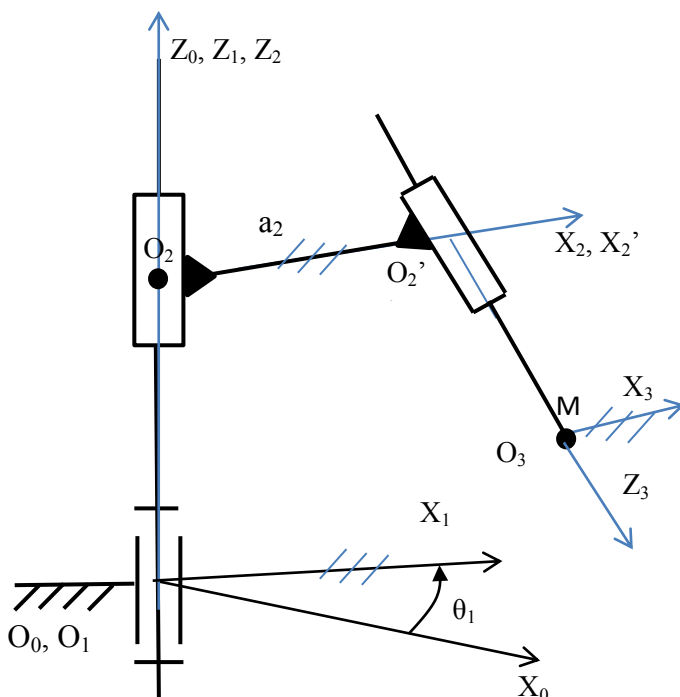
$$\begin{bmatrix} c_1 & 0 & s_1 & a_2 \cdot \cos\theta_1 + s_3 \sin\theta_1 \\ s_1 & 0 & -c_1 & a_2 \cdot \sin\theta_1 - s_3 \cos\theta_1 \\ 0 & 1 & 0 & d_1 + s_2 \\ 0 & 0 & 0 & 1 \end{bmatrix} \quad (2.24)$$

Submatricea de poziționare din relația 2.24 are elementele identice cu relațiile 2.22, adică coordonatele punctului caracteristic M în raport cu sistemul $O_0X_0Y_0Z_0$.

Submatricea de rotație R din relația 2.24 este:

$$\begin{bmatrix} \cos\theta_1 & 0 & \sin\theta_1 \\ \sin\theta_1 & 0 & -\cos\theta_1 \\ 0 & 1 & 0 \end{bmatrix} = \begin{bmatrix} \cos(X_0, X_3) & \cos(X_0, Y_3) & \cos(X_0, Z_3) \\ \cos(Y_0, X_3) & \cos(Y_0, Y_3) & \cos(Y_0, Z_3) \\ \cos(Z_0, X_3) & \cos(Z_0, Y_3) & \cos(Z_0, Z_3) \end{bmatrix}$$

Din figura 2.8 e observă că O_3X_3 este paralelă cu O_1X_1 , în concluzie unghiul $(X_0, X_3) = \theta_1$. Unghiul $(Y_0, X_3) = \text{unghiul}(Y_0, X_1) = 270^\circ + \theta_1$.



O_3Z_3 este perpendiculară pe O_3X_3 (pe O_1X_1 , în sensul negativ al axei O_1Y_1). Unghiul $(X_0, Z_3) = \text{unghiul}(X_0, Y_1) = 270^\circ + \theta_1$. Unghiul $(Y_0, Z_3) = \text{unghiul}(180^\circ + \theta_1)$.

Figura 2.8. Sistemele de referință $O_3X_3Y_3Z_3$ și $O_0X_0Y_0Z_0$ pentru robotul RTT

O_3Y_3 are direcția verticală (e perpendiculară pe planul determinat de O_3X_3 și O_3Y_3), e perpendiculară pe planul $O_0X_0Y_0$ (aceiași cu planul $O_1X_1Y_1$),

unghiul (X_0, Y_3) =unghiul (Y_0, Y_3) =unghiul (Z_0, X_3) =unghiul (Z_0, Z_3) = 90° , iar unghiul (Z_0, Y_3) = 0° .

2.5. Analiza cinematico-pozițională a dispozitivului de ghidare a robotului RRRR

Acestui robot antropomorf⁸ (are ca mecanism generator de traiectorie lanțul cinematic deschis RRR și ca mecanism de orientare o cuplă R) i se determină relațiile de calcul a coordonatelor punctului caracteristic M al robotului sau, prin aplicarea convenției Denavit-Hartenberg, matricea de trecere 0T_4 . Figura 2.9 reprezintă schema cinematică a robotului RRRR în vedere din față și dedesubt în vedere de sus.

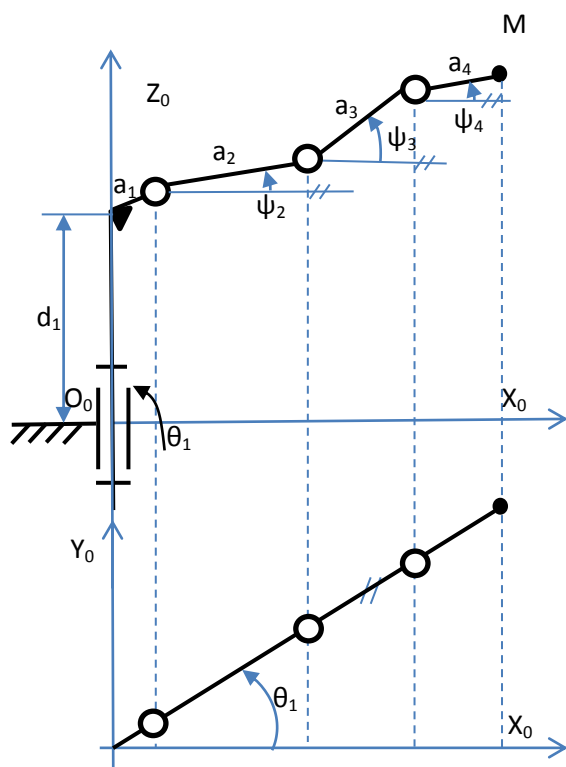


Figura 2.9. Schema cinematică a robotului RRRR (în vedere din față și de sus)

Acestei scheme i s-a atașat un sistem de referință fix, cu originea în centrul bazei, $O_0X_0Y_0Z_0$. În robotică, acest sistem de referință se numește sistem atașat bazei robotului (World Coordinates, Robot Base)⁹.

Unghiurile ψ_2, ψ_3, ψ_4 sunt unghiurile de rotație din cuplurile cinematice conducătoare, măsurate față de axele sistemului de referință fix $O_0X_0Y_0Z_0$. Aceste unghiuri se mai numesc și unghiuri absolute. În cazul în care unghiurile se raportează la elementul anterior, unghiurile sunt relative și se notează cu θ_i .

Se calculează coordonatele punctului caracteristic al robotului:

$$X_M = (a_1 + a_2 \cdot \cos\psi_2 + a_3 \cdot \cos\psi_3 + a_4 \cdot \cos\psi_4) \cdot \cos\theta_1$$

$$Y_M = (a_1 + a_2 \cdot \cos\psi_2 + a_3 \cdot \cos\psi_3 + a_4 \cdot \cos\psi_4) \cdot \sin\theta_1$$

$$Z_M = d_1 + a_2 \cdot \sin\psi_2 + a_3 \cdot \sin\psi_3 + a_4 \cdot \sin\psi_4$$

(2.25)

Dacă se aplică convenția Denavit-Hartenberg (figura 2.10) și se obține relația de calcul a matricii de trecere 0T_4 , pe baza relațiilor de trecere dintr-un sistem de referință atașat unei cuple în următoarea cuplă pe lanțul cinematic:

⁸ ANTROPOMÓRF, -Ă, *antropomorfi*, -e, adj. Care seamănă cu omul, care amintește de om.

⁹ Sistemul de referință atașat bazei robotului are originea în centrul flanșei de montare a robotului pe sol, iar orientarea acestui sistem depinde de firma producătoare a robotului (poate fi diferită la firme producătoare diferite).

$${}^0T_4 = R(Z, \theta_1)T(Z, d_1)T(X, a_1)R(X, 90^\circ)R(Z, \theta_2)T(X, a_2)R(Z, \theta_3)T(X, a_3)R(Z, \theta_4)T(X, a_4) \quad (2.26)$$

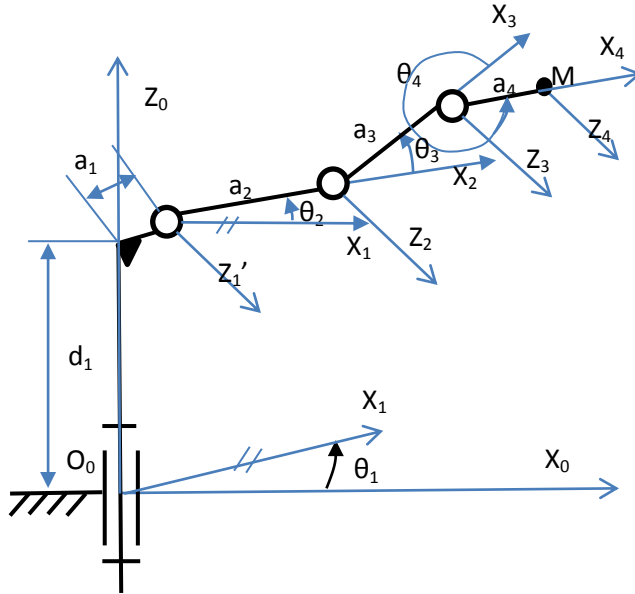


Figura 2.10. Schema cinematică a robotului RRRR, cu sistemele de referință atașate în cele patru cuple

În figura 2.10, O_2Z_2 , O_3Z_3 , O_4Z_4 sunt axe perpendiculare pe planul $O_0X_0Z_0$.

$$\begin{aligned} {}^0T_4 &= \begin{bmatrix} c_1 & -s_1 & 0 & 0 \\ s_1 & c_1 & 0 & 0 \\ 0 & 0 & 1 & 0 \\ 0 & 0 & 0 & 1 \end{bmatrix} \cdot \begin{bmatrix} 1 & 0 & 0 & 0 \\ 0 & 1 & 0 & 0 \\ 0 & 0 & 1 & d_1 \\ 0 & 0 & 0 & 1 \end{bmatrix} \cdot \begin{bmatrix} 1 & 0 & 0 & a_1 \\ 0 & 1 & 0 & 0 \\ 0 & 0 & 1 & 0 \\ 0 & 0 & 0 & 1 \end{bmatrix} \cdot \begin{bmatrix} 1 & 0 & 0 & 0 \\ 0 & c_{90^\circ} & -s_{90^\circ} & 0 \\ 0 & s_{90^\circ} & c_{90^\circ} & 0 \\ 0 & 0 & 0 & 1 \end{bmatrix} \\ & \begin{bmatrix} c_2 & -s_2 & 0 & 0 \\ s_2 & c_2 & 0 & 0 \\ 0 & 0 & 1 & 0 \\ 0 & 0 & 0 & 1 \end{bmatrix} \cdot \begin{bmatrix} 1 & 0 & 0 & a_2 \\ 0 & 1 & 0 & 0 \\ 0 & 0 & 1 & 0 \\ 0 & 0 & 0 & 1 \end{bmatrix} \cdot \begin{bmatrix} c_3 & -s_3 & 0 & 0 \\ s_3 & c_3 & 0 & 0 \\ 0 & 0 & 1 & 0 \\ 0 & 0 & 0 & 1 \end{bmatrix} \cdot \begin{bmatrix} 1 & 0 & 0 & a_3 \\ 0 & 1 & 0 & 0 \\ 0 & 0 & 1 & 0 \\ 0 & 0 & 0 & 1 \end{bmatrix} \\ & \begin{bmatrix} c_4 & -s_4 & 0 & 0 \\ s_4 & c_4 & 0 & 0 \\ 0 & 0 & 1 & 0 \\ 0 & 0 & 0 & 1 \end{bmatrix} \cdot \begin{bmatrix} 1 & 0 & 0 & a_4 \\ 0 & 1 & 0 & 0 \\ 0 & 0 & 1 & 0 \\ 0 & 0 & 0 & 1 \end{bmatrix} \quad (2.27) \end{aligned}$$

Matricile $R(Z, \theta_i)T(X, a_i)$, $i=2,3,4$ sunt de forma:

$$\begin{bmatrix} c_4 & -s_4 & 0 & 0 \\ s_4 & c_4 & 0 & 0 \\ 0 & 0 & 1 & 0 \\ 0 & 0 & 0 & 1 \end{bmatrix} \cdot \begin{bmatrix} 1 & 0 & 0 & a_4 \\ 0 & 1 & 0 & 0 \\ 0 & 0 & 1 & 0 \\ 0 & 0 & 0 & 1 \end{bmatrix} = \begin{bmatrix} c_4 & -s_4 & 0 & a_4 c_4 \\ s_4 & c_4 & 0 & a_4 s_4 \\ 0 & 0 & 1 & 0 \\ 0 & 0 & 0 & 1 \end{bmatrix}$$

Matricile $R(Z, \theta_i)T(X, a_i)R(Z, \theta_j)T(X, a_j)$, $i=3, j=4$, sunt de forma:

$$\begin{bmatrix} c_3 & -s_3 & 0 & a_3 c_3 \\ s_3 & c_3 & 0 & a_3 s_3 \\ 0 & 0 & 1 & 0 \\ 0 & 0 & 0 & 1 \end{bmatrix} \cdot \begin{bmatrix} c_4 & -s_4 & 0 & a_4 c_4 \\ s_4 & c_4 & 0 & a_4 s_4 \\ 0 & 0 & 1 & 0 \\ 0 & 0 & 0 & 1 \end{bmatrix} =$$

$$\begin{aligned}
&= \begin{bmatrix} c_3c_4 - s_3s_4 & -c_3s_4 - s_3c_4 & 0 & a_4c_3c_4 - a_4s_3s_4 + a_3c_3 \\ s_3c_4 + c_3s_4 & c_3c_4 - s_3s_4 & 0 & a_4s_3c_4 + a_4c_3s_4 + a_3s_3 \\ 0 & 0 & 1 & 0 \\ 0 & 0 & 0 & 1 \end{bmatrix} = \\
&= \begin{bmatrix} c_{34} & -s_{34} & 0 & a_4c_{34} + a_3c_3 \\ s_{34} & c_{34} & 0 & a_4s_{34} + a_3s_3 \\ 0 & 0 & 1 & 0 \\ 0 & 0 & 0 & 1 \end{bmatrix} \quad (2.28)^{10}
\end{aligned}$$

Primele 4 matrici înmulțite din 4T_0 , adică $R(Z, \theta_1)T(Z, d_1)T(X, a_1)R(X, 90^\circ)$, sunt:

$$\begin{aligned}
&\begin{bmatrix} c_1 & -s_1 & 0 & 0 \\ s_1 & c_1 & 0 & 0 \\ 0 & 0 & 1 & 0 \\ 0 & 0 & 0 & 1 \end{bmatrix} \cdot \begin{bmatrix} 1 & 0 & 0 & a_1 \\ 0 & 1 & 0 & 0 \\ 0 & 0 & 1 & d_1 \\ 0 & 0 & 0 & 1 \end{bmatrix} \cdot \begin{bmatrix} 1 & 0 & 0 & 0 \\ 0 & 0 & -1 & 0 \\ 0 & 1 & 0 & 0 \\ 0 & 0 & 0 & 1 \end{bmatrix} = \\
&\begin{bmatrix} c_1 & -s_1 & 0 & a_1c_1 \\ s_1 & c_1 & 0 & a_1s_1 \\ 0 & 0 & 1 & d_1 \\ 0 & 0 & 0 & 1 \end{bmatrix} \cdot \begin{bmatrix} 1 & 0 & 0 & 0 \\ 0 & 0 & -1 & 0 \\ 0 & 1 & 0 & 0 \\ 0 & 0 & 0 & 1 \end{bmatrix} = \begin{bmatrix} c_1 & 0 & s_1 & a_1c_1 \\ s_1 & 0 & -c_1 & a_1s_1 \\ 0 & 1 & 0 & d_1 \\ 0 & 0 & 0 & 1 \end{bmatrix} \quad (2.29)
\end{aligned}$$

Ultimele 6 matrici înmulțite, adică $R(Z, \theta_2)T(X, a_2)R(Z, \theta_3)T(X, a_3)R(Z, \theta_4)T(X, a_4)$ sunt:

$$\begin{aligned}
&\begin{bmatrix} c_2 & -s_2 & 0 & a_2c_2 \\ s_2 & c_2 & 0 & a_2s_2 \\ 0 & 0 & 1 & 0 \\ 0 & 0 & 0 & 1 \end{bmatrix} \cdot \begin{bmatrix} c_{34} & -s_{34} & 0 & a_4c_{34} + a_3c_3 \\ s_{34} & c_{34} & 0 & a_4s_{34} + a_3s_3 \\ 0 & 0 & 1 & 0 \\ 0 & 0 & 0 & 1 \end{bmatrix} = \\
&\begin{bmatrix} c_{34}c_2 - s_2s_{34} & -s_{34}c_2 - s_2c_{34} & 0 & (a_4c_{34} + a_3c_3)c_2 - s_2(a_4s_{34} + a_3s_3) + a_2c_2 \\ s_2c_{34} + c_2s_{34} & -s_{34}s_2 + c_2c_{34} & 0 & (a_4c_{34} + a_3c_3)s_2 + c_2(a_4s_{34} + a_3s_3) + a_2s_2 \\ 0 & 0 & 1 & 0 \\ 0 & 0 & 0 & 1 \end{bmatrix} = \\
&= \begin{bmatrix} c_{234} & -s_{234} & 0 & a_2c_2 + a_3c_{23} + a_4c_{234} \\ s_{234} & c_{234} & 0 & a_2s_2 + a_3s_{23} + a_4s_{234} \\ 0 & 0 & 1 & 0 \\ 0 & 0 & 0 & 1 \end{bmatrix} \quad (2.30)
\end{aligned}$$

Din relațiile 2.29 și 2.30, se obține forma finală a matricii 0T_4 :

$$\begin{aligned}
&\begin{bmatrix} c_1 & 0 & s_1 & a_1c_1 \\ s_1 & 0 & -c_1 & a_1s_1 \\ 0 & 1 & 0 & d_1 \\ 0 & 0 & 0 & 1 \end{bmatrix} \cdot \begin{bmatrix} c_{234} & -s_{234} & 0 & a_2c_2 + a_3c_{23} + a_4c_{234} \\ s_{234} & c_{234} & 0 & a_2s_2 + a_3s_{23} + a_4s_{234} \\ 0 & 0 & 1 & 0 \\ 0 & 0 & 0 & 1 \end{bmatrix} = \\
&\begin{bmatrix} c_{234}c_1 & -s_{234}c_1 & s_1 & (a_1 + a_2c_2 + a_3c_{23} + a_4c_{234})c_1 \\ c_{234}s_1 & -s_{234}s_1 & -c_1 & (a_1 + a_2c_2 + a_3c_{23} + a_4c_{234})s_1 \\ s_{234} & c_{234} & 0 & d_1 + a_2s_2 + a_3s_{23} + a_4s_{234} \\ 0 & 0 & 0 & 1 \end{bmatrix} \quad (2.31)
\end{aligned}$$

¹⁰ $\cos(\theta_3 + \theta_4) = \cos\theta_3 \cdot \cos\theta_4 - \sin\theta_3 \cdot \sin\theta_4$; $\sin(\theta_3 + \theta_4) = \sin\theta_3 \cdot \cos\theta_4 + \cos\theta_3 \cdot \sin\theta_4$, relații cunoscute din trigonometrie.

Notății utilizate $c_1 = \cos\theta_1$; $s_1 = \sin\theta_1$; $c_{23} = \cos(\theta_2 + \theta_3)$; $s_{23} = \sin(\theta_2 + \theta_3)$.

Submatricea de poziționare din relația 2.31 este formată de coordonatele punctului M în raport cu $O_0X_0Y_0Z_0$. Comparând aceste ecuații cu relațiile 2.25, avem:

$$X_M = (a_1 + a_2 \cdot \cos\psi_2 + a_3 \cdot \cos\psi_3 + a_4 \cdot \cos\psi_4) \cdot \cos\theta_1$$

$$X_M = (a_1 + a_2c_2 + a_3c_{23} + a_4c_{234})c_1$$

Sau fără notațiile prescurtate, avem:

$$X_M = (a_1 + a_2 \cos\theta_2 + a_3 \cos(\theta_2 + \theta_3) + a_4 \cos(\theta_2 + \theta_3 + \theta_4)) \cos\theta_1$$

$$Y_M = (a_1 + a_2 \cdot \cos\psi_2 + a_3 \cdot \cos\psi_3 + a_4 \cdot \cos\psi_4) \cdot \sin\theta_1$$

$$Y_M = (a_1 + a_2c_2 + a_3c_{23} + a_4c_{234})s_1; \text{ sau}$$

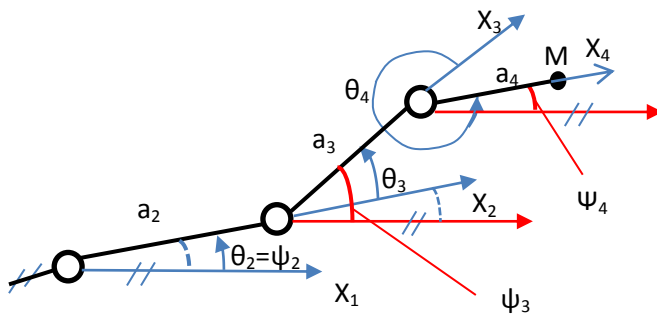
$$Y_M = (a_1 + a_2 \cos\theta_2 + a_3 \cos(\theta_2 + \theta_3) + a_4 \cos(\theta_2 + \theta_3 + \theta_4)) \sin\theta_1$$

$$Z_M = d_1 + a_2 \cdot \sin\psi_2 + a_3 \cdot \sin\psi_3 + a_4 \cdot \sin\psi_4$$

$$Z_M = d_1 + a_2s_2 + a_3s_{23} + a_4s_{234}; \text{ sau}$$

$$Z_M = d_1 + a_2 \sin\theta_2 + a_3 \sin(\theta_2 + \theta_3) + a_4 \sin(\theta_2 + \theta_3 + \theta_4) \quad (2.32)$$

Cele câte două relații pentru coordonatele punctului M sunt echivalente, dacă $\psi_2 = \theta_2$; $\psi_3 = \theta_2 + \theta_3$; $\psi_4 = \theta_2 + \theta_3 + \theta_4$. Egalitățile între unghiuri sunt evidente, corelațiile între acestea sunt reprezentate în figura 2.11.



$$\psi_3 = \theta_3 + \theta_2$$

$$\psi_3 + \theta_4 - \psi_4 = 360^\circ$$

$$\theta_3 + \theta_2 + (\theta_4 - \psi_4) = 360^\circ$$

Figura 2.11. Detaliu al figurii 2.10 pentru determinarea relațiilor între unghiurile absolute (ψ) și cele relative (θ).

$$\cos(\theta_3 + \theta_2 + \theta_4) = \cos(360^\circ + \psi_4) \quad (2.33)$$

Problema cinematico-pozițională directă a robotului

Pentru o anumită structură a robotului, dimensiuni ale lungimilor cuplelor cinematice, ale offset-urilor și valori ale deplasărilor în cuplele cinematice conducătoare, se calculează coordonatele carteziene ale punctului caracteristic al robotului.

De exemplu, pentru robotului RTT, în relațiile de calcul 2.24 se cunosc parametrii dimensionali a_2 și d_1 , deplasările din cuple ψ_1 (θ_1), s_2 și s_3 . Se calculează X_M , Y_M , Z_M . Dacă se aplică convenția Denavit-Hartenberg, din matricea 0T_3 adică submatricea de orientare, se determină și cosinuşii directori ai axelor sistemului de referință fix, notat cu 0 cu cei ai

sistemului din punctul caracteristic M, notat cu 3. Rezolvarea problemei cinematice directe este simplă.

2.6. Problema cinematico-pozițională inversă a robotului

Problema inversă pozițională a robotului serial este mai dificilă decât problema directă.

Datele de intrare ale problemei inverse sunt: structura robotului, parametrii dimensionali ai sistemului mecanic al robotului (sau parametrii Denavit-Hartenberg θ_i , d_i , a_i , α_i), coordonatele carteziene ale punctului caracteristic M al robotului.

Datele de ieșire ale problemei inverse sunt valorile coordonatelor generalizate ale cuplelor q_i .

Exemplul 1: robotul RRRR

Nu există o metodă universală de rezolvare a problemei cinematico-poziționale inverse. Fiecare structură de robot trebuie tratată ca problemă dată spre rezolvare. În unele cazuri există mai multe metode de rezolvare a aceluiași probleme.

Fie robotul RRRR a cărui matrice de transformare 0T_4 , obținută în paragraful 2.5, relația 2.31 este:

$${}^0T_4 = \begin{bmatrix} c_{234}c_1 & -s_{234}c_1 & s_1 & (a_1 + a_2c_2 + a_3c_{23} + a_4c_{234})c_1 \\ c_{234}s_1 & -s_{234}s_1 & -c_1 & (a_1 + a_2c_2 + a_3c_{23} + a_4c_{234})s_1 \\ s_{234} & c_{234} & 0 & d_1 + a_2s_2 + a_3s_{23} + a_4s_{234} \\ 0 & 0 & 0 & 1 \end{bmatrix}$$

$$X_M = (a_1 + a_2 \cdot \cos\psi_2 + a_3 \cdot \cos\psi_3 + a_4 \cdot \cos\psi_4) \cdot \cos\theta_1 \quad (2.34)$$

$$Y_M = (a_1 + a_2 \cdot \cos\psi_2 + a_3 \cdot \cos\psi_3 + a_4 \cdot \cos\psi_4) \cdot \sin\theta_1 \quad (2.35)$$

$$Z_M = d_1 + a_2 \cdot \sin\psi_2 + a_3 \cdot \sin\psi_3 + a_4 \cdot \sin\psi_4 \quad (2.36)$$

Dându-se valorile lui X_M , Y_M , Z_M , a_1 , d_1 , a_2 , a_3 , a_4 și valoarea lui ψ_4 (a patra cuplă R modifică cu preponderență orientarea efectorului final), se calculează valorile lui θ_1 , ψ_2 , ψ_3 .

Se observă că împărțind relațiile 2.35 la 2.34, se obține:

$$\theta_1 = \operatorname{atan}\left(\frac{Y_M}{X_M}\right) \quad (2.37)$$

Ridicarea la pătrat a relațiilor 2.34 și 2.35 și suma lor conduce la relația:

$$(a_1 + a_2 \cdot \cos\psi_2 + a_3 \cdot \cos\psi_3 + a_4 \cdot \cos\psi_4)^2 = X_M^2 + Y_M^2 \quad (2.38)$$

$$\text{Adică, } a_2 \cdot \cos\psi_2 + a_3 \cdot \cos\psi_3 = -a_1 - a_4 \cdot \cos\psi_4 + \sqrt{X_M^2 + Y_M^2} = A \quad (2.39)$$

Din ecuația 2.36, separând termenii conținând pe ψ_2 , ψ_3 , obținem:

$$a_2 \cdot \sin\psi_2 + a_3 \cdot \sin\psi_3 = Z_M - d_1 - a_4 \cdot \sin\psi_4 = B \quad (2.40)$$

Unde A și B sunt valori cunoscute reale.

$$\text{Dar, din 2.39 avem: } \cos\psi_3 = \frac{A-a_2 \cdot \cos\psi_2}{a_3}; \text{ din 2.40, avem } \sin\psi_3 = \frac{B-a_2 \cdot \sin\psi_2}{a_3}. \quad (2.41)$$

Ridicând la pătrat cele două relații și adunându-le, avem:

$$\left(\frac{A-a_2 \cdot \cos\psi_2}{a_3}\right)^2 + \left(\frac{B-a_2 \cdot \sin\psi_2}{a_3}\right)^2 = 1 \quad (2.41')^{11}$$

Dezvoltând ecuația în ψ_2 din 2.41, obținem:

$$A \cdot \cos\psi_2 + B \cdot \sin\psi_2 = (A^2 + B^2 + a_2^2 - a_3^2) \cdot \frac{1}{2 \cdot a_2} = C$$

$$\text{Relația de mai sus este de forma: } A \cdot \cos\psi_2 + B \cdot \sin\psi_2 = C, \quad (2.42)$$

unde A, B, C sunt constante reale.

Se constată că rezolvarea problemei cinematico-poziționale inverse conduce la rezolvarea unei ecuații trigonometrice de forma dată în relația 2.42.

Metoda de rezolvare propusă a acestei ecuații este metoda substituției.

Se propune substituția: $A=r \sin\varphi$; $B=r \cos\varphi$, unde $r = \mp\sqrt{A^2 + B^2}$; $\varphi = \text{atan}\left(\frac{A}{B}\right)$

Înlocuind pe A și B în 2.42, obținem:

$$r \sin\varphi \cdot \cos\psi_2 + r \cos\varphi \cdot \sin\psi_2 = C; \quad \sin(\psi_2 + \varphi) = \frac{C}{r} \quad (2.43)$$

$$\text{Dar } \cos(\psi_2 + \varphi) = \mp\sqrt{1 - \left(\frac{C}{r}\right)^2}; \quad \text{tg}(\psi_2 + \varphi) = \frac{\mp C}{\sqrt{r^2 - C^2}}; \quad \psi_2 = \text{atan}\left(\frac{\mp C}{\sqrt{r^2 - C^2}}\right) - \varphi \quad (2.44)$$

Discuție: din ultima egalitate 2.43,

dacă $C > 0$, atunci $0 < \sin(\psi_2 + \varphi) < 1$ și $-\varphi < \psi_2 < \pi - \varphi$;

dacă $C < 0$, atunci $-1 < \sin(\psi_2 + \varphi) < 0$ și $-\pi - \varphi < \psi_2 < -\varphi$; (2.45)¹²

Din relațiile 2.41, dacă se calculează ψ_2 , se va calcula și ψ_3 , adică:

$$\cos\psi_3 = \frac{A-a_2 \cdot \cos\psi_2}{a_3} \text{ și } \sin\psi_3 = \frac{B-a_2 \cdot \sin\psi_2}{a_3}; \quad \text{tg}\psi_3 = \frac{B-a_2 \cdot \sin\psi_2}{A-a_2 \cdot \cos\psi_2} \quad (2.46)$$

Exemplul 2: Robotul RRR [1]

Fie robotul din figura 2.12, un lanț cinematic deschis plan. În figură s-au notat cu W punctul corespunzător cuplei de rotație 3, care se mai numește Wrist Point= punct de încheietură, aparținând mecanismului de orientare; $\theta_1, \theta_2, \theta_3$, unghiurile relative orientate din cuple, E

¹¹ Pentru că $\cos^2\alpha + \sin^2\alpha = 1$

¹² Ca să existe α , trebuie ca $-1 \leq \sin(\alpha) \leq 1$. Pentru cadranul I și II, $0 \leq \sin\alpha \leq 1$, deci $\pi \leq \alpha \leq 0$, pentru cadranul III și IV, $0 \leq \sin\alpha \leq -1$, deci $\pi \leq \alpha \leq 2\pi$.

punctul caracteristic al robotului, ϕ_e este unghiul de orientare (Pitch), x_e, y_e sunt coordonatele punctului E față de sistemul de referință din figură.

Problema cinematică inversă presupune cunoscute lungimile elementelor l_1, l_2, l_3 , coordonatele punctului E x_e, y_e și unghiul de orientare absolută ϕ_e .

Să se calculeze unghiurile $\theta_1, \theta_2, \theta_3$.

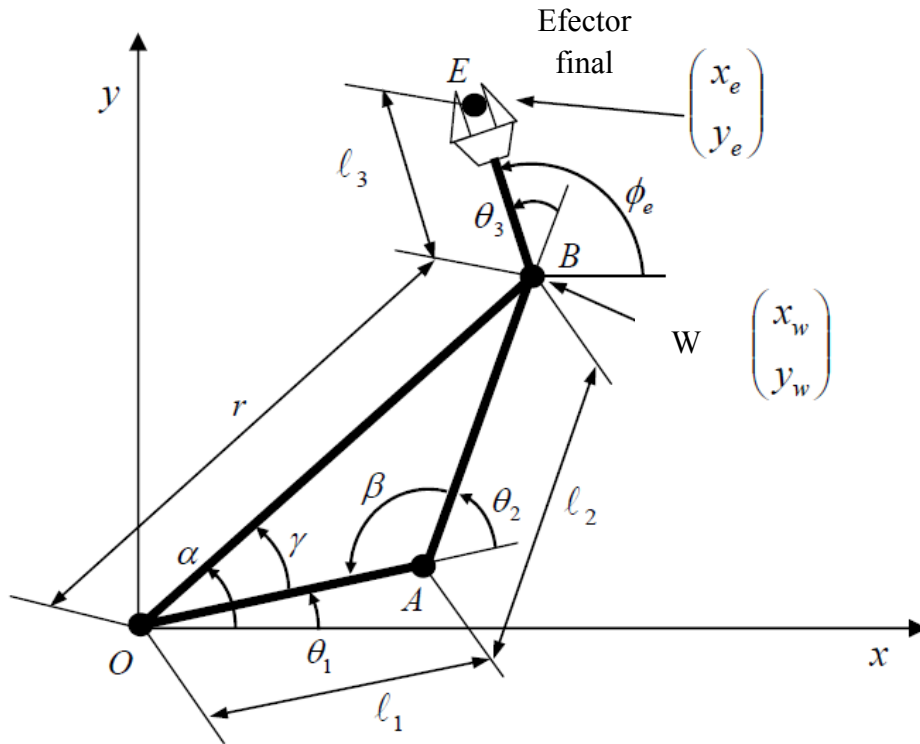


Figura 2.12. Schema cinematică a robotului RRR și schița ajutătoare de calcul la problema cinematică inversă [1]

Calculul presupune parcurgerea a două etape.

Mai întâi se calculează poziția punctului W din valorile x_e, y_e și ϕ_e .

$$x_W = x_e - l_3 \cos \phi_e; \quad y_W = y_e - l_3 \sin \phi_e \quad (2.46)$$

Unghiul α (din figura 2.12) se calculează $\alpha = \operatorname{atan} \frac{y_W}{x_W}$.

Se consideră triunghiul OAB și se aplică teorema cosinusului în acest triunghi.

$$l_1^2 + l_2^2 - 2l_1l_2 \cos \beta = r^2 = x_W^2 + y_W^2$$

Din această relație se calculează valoarea unghiului β și θ_2 :

$$\theta_2 = \pi - \beta = \pi - \operatorname{acos} \frac{l_1^2 + l_2^2 - x_W^2 - y_W^2}{2l_1l_2} \quad (2.47)$$

Similar, pentru unghiul γ din același triunghi OAB, avem:

$$l_1^2 + r^2 - 2l_1 r \cos \gamma = l_2^2$$

$$\theta_1 = \alpha - \gamma = \operatorname{atan} \frac{y_W}{x_W} - \operatorname{acos} \frac{l_1^2 - l_2^2 + x_W^2 + y_W^2}{2l_1 \sqrt{x_W^2 + y_W^2}} \quad (2.48)$$

$$\theta_3 = \varphi_e - \theta_1 - \theta_2 \quad (2.49)$$

Ecuatiile de calcul a unghiurilor θ_1 , θ_2 , θ_3 pot să aibă mai mult decât soluții unice. De multe ori, coordonatele punctului caracteristic și unghiurile de orientare nu oferă o soluție unică pentru configurația brațului robotului. În figura 2.13 se prezintă două posibile configurații ale brațului robotului pentru aceleași valori x_e , y_e și φ_e .

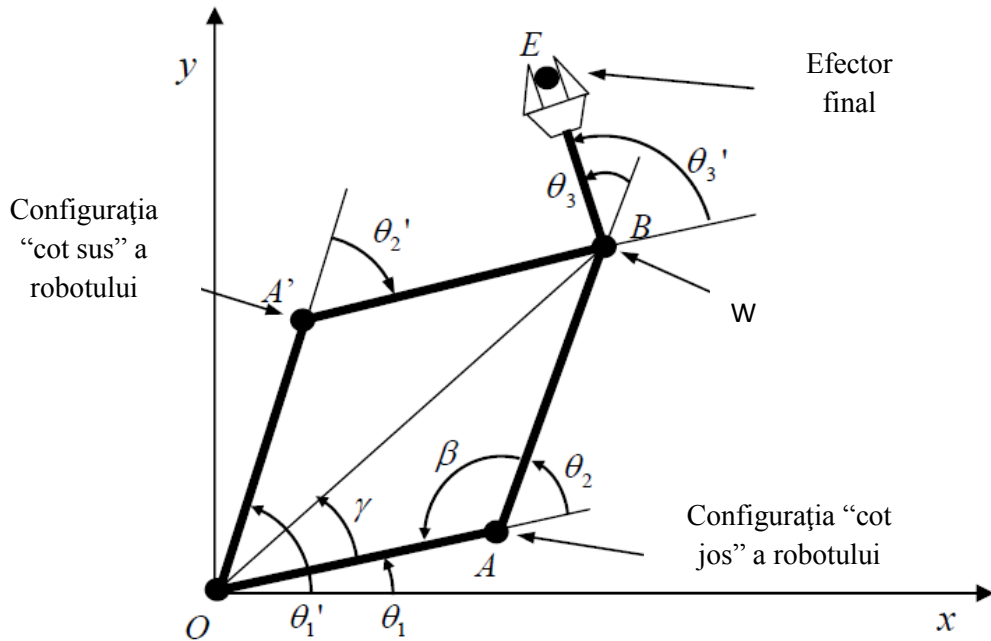


Figura 2.12. Consecința existenței mai multor soluții pentru ecuațiile trigonometrice din problema cinematică inversă [1]

2.7 Analiza cinematică a mecanismului de orientare al robotului

Orientarea obiectului de lucru preluat de către robot este realizată prin mișcări de rotație în jurul axelor unui sistem de referință atașat punctului de intersecție ale axelor 4, 5 și 6 (notat cu W =wrist point). Axele comandate 4, 5, 6 ale unui robot cu 6 grade de mobilitate sunt denumite și cuplele cinematice conducătoare aparținând mecanismului de orientare.

În figura 2.13 sunt reprezentate mișcările de orientare ale efectorului final (obiectului de lucru preluat sau sculei). Mișcarea de pronație-supinație (Roll) este rotația în jurul axei $O_W Z_W$, mișcarea de flexie-extensie (Pitch) este rotația în jurul axei $O_W Y_W$, iar mișcarea de aducție-abducție (Yaw) este rotația în jurul axei $O_W X_W$.

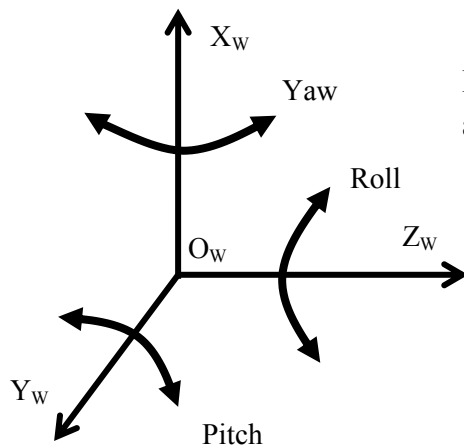


Figura 2.13. Mișcările de orientare și denumirile acestora

Scopul măsurării sculei (TCP)

Mișcare cu taste

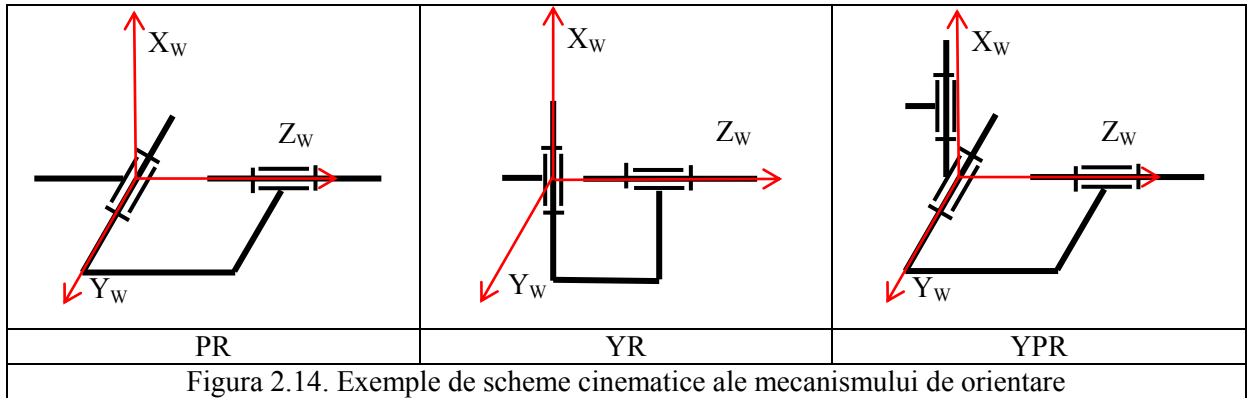
sau utilizând Mouse-ul 6D

Reorientarea după vârful sculei (TCP)

KUKARoboter GmbH, Hery Park 3000, D-86368 Gersthofen, Tel.: +49 (0) 8 21 45 33-1906, Fax: +49 (0) 8 21 45 33-2340, http://www.kuka-roboter.de
© Copyright by KUKARoboter GmbH College 108_01.2004 | College IAC 1 |

În figura de mai sus sunt prezentate mișcările de rotație în jurul axelor sistemului de referință atașat sculei (efectorului final) pentru robotul Kuka. Corespondența dintre cele două notații este: pronație-supinație corespunde mișcării C, flexie-extensie corespunde mișcării B, iar aducție-abducție corespunde mișcării A.

Cuplele cinematice conducătoare ale mecanismului de orientare al robotului serial sunt numai cuple de rotație. Mecanismul de orientare are, în funcție de necesitățile din aplicațiile robotului, 1, 2, sau 3 cuple cinematice de rotație. În figurile 2.14 sunt prezentate trei scheme cinematice ale mecanismului de orientare al robotului cu două/trei (RR) sau (RRR) cuple cinematice conducătoare.



În figura 2.15 este prezentată schema cinematică a mecanismului de orientare a robotului Kuka, ABB, etc.

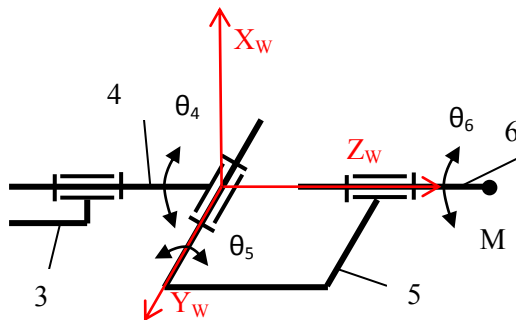


Figura 2.15. Schema cinematică a mecanismului de orientare RRR

Pentru analiza cinematică a mecanismului de orientare se determină matricea 3T_6 , care are forma generală:

$${}^3T_6 = \begin{bmatrix} n_x & o_x & a_x & {}^3x_{O_6} \\ n_y & o_y & a_y & {}^3y_{O_6} \\ n_z & o_z & a_z & {}^3z_{O_6} \\ 0 & 0 & 0 & 1 \end{bmatrix}, \quad (2.50)$$

unde n_x, o_x, a_x etc. sunt valorile cosinșilor directori, valori numerice cuprinse în intervalul $[-1,1]$.

Ipoteza simplificatoare în analiza cinematică a acestui mecanism de orientare este că acest mecanism este sferic. Centrul sferei determinate de mulțimea pozițiilor posibile ale punctului M coincide cu punctul încheieturii (O_w), originea sistemului de referință $O_w X_w Y_w Z_w$. În consecință, ${}^3x_{O_6} = {}^3y_{O_6} = {}^3z_{O_6} = 0$. Din acest motiv, în loc de a se realiza calculele cinematice cu forma matricii de trecere completă, se va utiliza în cele ce urmează doar forma submatricilor de orientare.

Determinarea matricii de trecere, în funcție de mișcările din cuplele 4, 5, 6 se poate realiza cu relația: ${}^3R_6 = Rot(Z, \theta_4)Rot(Y, \theta_5)Rot(Z, \theta_6)$. (2.51)

Din relațiile 2.50 și 2.51 avem:

$${}^3R_6 = \begin{bmatrix} n_x & o_x & a_x \\ n_y & o_y & a_y \\ n_z & o_z & a_z \end{bmatrix} = \begin{bmatrix} c_4 & -s_4 & 0 \\ s_4 & c_4 & 0 \\ 0 & 0 & 1 \end{bmatrix} \begin{bmatrix} c_5 & 0 & s_5 \\ 0 & 1 & 0 \\ -s_5 & 0 & c_5 \end{bmatrix} \begin{bmatrix} c_6 & -s_6 & 0 \\ s_6 & c_6 & 0 \\ 0 & 0 & 1 \end{bmatrix} \quad (2.52)$$

Relația 2.52 se va rearanja convenabil; adică

$$\begin{bmatrix} c_4 & -s_4 & 0 \\ s_4 & c_4 & 0 \\ 0 & 0 & 1 \end{bmatrix}^{-1} \begin{bmatrix} n_x & o_x & a_x \\ n_y & o_y & a_y \\ n_z & o_z & a_z \end{bmatrix} = \begin{bmatrix} c_5 & 0 & s_5 \\ 0 & 1 & 0 \\ -s_5 & 0 & c_5 \end{bmatrix} \begin{bmatrix} c_6 & -s_6 & 0 \\ s_6 & c_6 & 0 \\ 0 & 0 & 1 \end{bmatrix}, \text{ unde matricea inversă}$$

este: $\begin{bmatrix} c_4 & -s_4 & 0 \\ s_4 & c_4 & 0 \\ 0 & 0 & 1 \end{bmatrix}^{-1} = \begin{bmatrix} c_4 & s_4 & 0 \\ -s_4 & c_4 & 0 \\ 0 & 0 & 1 \end{bmatrix}$

Efectuând înmulțirile matricilor de ambele părți ale egalității, se obține:

$$\begin{bmatrix} n_x c_4 + n_y s_4 & o_x c_4 + o_y s_4 & a_x c_4 + a_y s_4 \\ -n_x s_4 + n_y c_4 & -o_x s_4 + o_y c_4 & -a_x s_4 + a_y c_4 \\ n_z & o_z & a_z \end{bmatrix} = \begin{bmatrix} c_5 c_6 & -c_5 s_6 & s_5 \\ s_6 & c_6 & 0 \\ -s_5 c_6 & s_5 s_6 & c_5 \end{bmatrix} \quad (2.53)$$

Alegând convenabil egalitățile între elementele matricilor de ambele părți ale semnului egal, avem: $-a_x \sin \theta_4 + a_y \cos \theta_4 = 0$; $tg \theta_4 = \frac{a_y}{a_x}$; $\theta_4 = \text{atan} \left(\frac{a_y}{a_x} \right) + k\pi$

$$\begin{aligned} a_x \cos \theta_4 + a_y \sin \theta_4 &= \sin \theta_5; \quad a_z = \cos \theta_5; \quad tg \theta_5 = \frac{a_x \cos \theta_4 + a_y \sin \theta_4}{a_z}; \quad \theta_5 = \\ &= \text{atan} \left(\frac{a_x \cos \theta_4 + a_y \sin \theta_4}{a_z} \right) + k\pi \end{aligned} \quad (2.54)$$

Pentru a se obține o formă mai elegantă (matematic) pentru θ_5 , se caută alte expresii pentru calculul lui $\sin \theta_4$ și $\cos \theta_4$ și avem:

$$\begin{aligned} a_y \cos \theta_4 - a_x \sin \theta_4 &= 0; \quad a_y^2 (1 - \sin^2 \theta_4) = a_x^2 \sin^2 \theta_4; \quad \sin \theta_4 = \frac{a_y}{\pm \sqrt{a_x^2 + a_y^2}} \\ a_y \cos \theta_4 - a_x \sin \theta_4 &= 0; \quad a_y^2 \cos^2 \theta_4 = a_x^2 (1 - \cos^2 \theta_4); \quad \cos \theta_4 = \frac{a_x}{\pm \sqrt{a_x^2 + a_y^2}} \end{aligned} \quad (2.55)$$

Utilizând relațiile 2.55 pentru sin și cos de θ_4 , obținem:

$$\begin{aligned} \theta_5 &= \text{atan} \left(\frac{a_x \cos \theta_4 + a_y \sin \theta_4}{a_z} \right) = \text{atan} \left(\frac{a_x \frac{a_x}{\pm \sqrt{a_x^2 + a_y^2}} + a_y \frac{a_y}{\pm \sqrt{a_x^2 + a_y^2}}}{a_z} \right) \\ \theta_5 &= \text{atan} \left(\frac{\pm \sqrt{a_x^2 + a_y^2}}{a_z} \right) \end{aligned} \quad (2.56)$$

$$\sin \theta_6 = -n_x \sin \theta_4 + n_y \cos \theta_4; \quad \cos \theta_6 = -o_x \sin \theta_4 + o_y \cos \theta_4$$

$$tg \theta_6 = \frac{-n_x \sin \theta_4 + n_y \cos \theta_4}{-o_x \sin \theta_4 + o_y \cos \theta_4}; \quad \theta_6 = \text{atan} \left(\frac{-n_x \sin \theta_4 + n_y \cos \theta_4}{-o_x \sin \theta_4 + o_y \cos \theta_4} \right) + k\pi \quad (2.57)$$